

3 حركة القمر الصناعي في مداره Satellite Orbit Motion

تتطلب كلَّ مهام وأغراض جيوديزيا الأقمار الصناعية تقريرًا معرفة موقع الأقمار الصناعية المترتبطة بمعلومات زمنية دقيقة في إطار مرجعي مناسب. إن حساب مدارات الأقمار والتبعُّ بها، وكذلك إيجاد طرفاً ملائمة لقياسات التعديل يعتبر مطلباً أساسياً لحساب كل العناصر التالية:

- الإحداثيات الجيومركزية لمحطات الرصد
- وسائط لوصف حقل الجاذبية الأرضية وكذلك لتعيين جيوبئيد دقيق
- وسائط توجيه الأرض في الفضاء.

تتعلق دقة الحساب النهائية بالدقة المتوفرة لمدارات الأقمار، تصحَّ هذه المقوله بشكل كامل ومتزايد في مجال الجيوديزيا التطبيقية كتعيين إحداثيات نسبية في نظام الـ *GPS*، للحصول على دقة نسبية في الإحداثيات مقدارها 1 cm يتوجَّب معرفة مدارات الأقمار الصناعية بدقة عدة أمتار (فقرة 4.14.3).

على مستخدمي طرق جيوديزيا الأقمار الصناعية، الملاحة والمجالات المشابهة الأخرى الإلمام بالمعرفة الأساسية لحركة الأقمار في مدار اتها والإعاقات الرئيسية التي تخضع لها بهدف إتخاذ الإجراءات الملائمة لتعيين المسارات. في هذا الفصل سوف يتم شرح المعلومات الأساسية مبتدئين بحركة كيلر *Kepler* النظرية (حركة القمر الصناعي غير المعاقة) في حقل قوى مركزي ومن ثم ذكر بإختصار الإعاقات الرئيسية وتاثيرها على مدارات الأقمار الصناعية.

3.1 أساسيات في الميكانيك السماوي Fundamentals of Celestial Mechanics

نهتم في الميكانيك السماوي بحركة الأجسام السماوية تحت تأثير جذب كتل متبادل. أبسط شكل لهذا الجذب هي مسألة جسمين *two body problem*. من أجل الأقمار الصناعية يمكن إهمال كتلة القمر بالنسبة إلى كتلة الجسم المركزي (الأرض). يمكننا وصف مسألة الجسمين كما يلي:

بمعرفة موععي وسرعتي جسمين معروفي الكتلة في زمن ما يتحركان تحت تأثير قوى جذبهما المتبادلة، يمكن حساب موقعهما وسرعتهما في أي زمن.

بافتراض أن الأجسام متجانسة وتولَّ حقل جاذبية لنقطة كثيلية فيمكن وصف الحركة المدارية في مسألة جسمين تجريبياً بواسطة قوانين كيلر وكذلك بواسطة ميكانيك نيوتن.

إن مسألة الجسمين هي من المسائل القليلة في الميكانيك السماوي التي لها حل كامل. مسألة الثلاث أجسام أو عدة أجسام ليس لها حل عام. يعالج الميكانيك السماوي مسألة إعاقاة المدارات وحساب التقويمات.

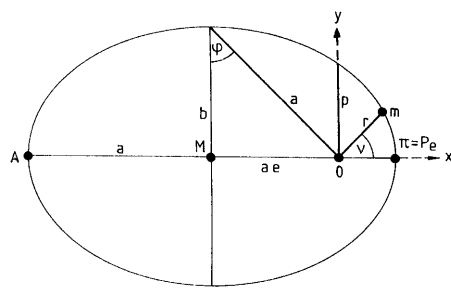
يعود الميكانيك السماوي الحديث إلى عام 1687 بإصدار العالم إسحق نيوتن كتابه *Principia*, تم فيه وصف قوانين الجاذبية والحركة للمرة الأولى. في الثلاثة مئة سنة التالية لم يتم تطور جذري في الميكانيك السماوي، ولكن إطلاق أول قمر صناعي وتطوير الحاسوبات الكبيرة مكن من إعطاء دفعه لأفكار جديدة. بعد أن كانت القياسات تقتصر على الإتجاهات يمكن حديثاً قياس المسافات وتغييراتها. إضافة إلى إعاقاة الشمس المعروفة وإعاقاة القمر والكواكب الأخرى لحركة الأقمار، يجب أن تعالج أيضاً تأثيرات حقل الجاذبية المتغير والقوى الأخرى المستقلة عن الجاذبية. من خلال تطوير حواسيب سريعة فإنه يمكن معالجة كمية معلومات كبيرة وإستعمال طرق تكميل عدديّة.

3.1.1 حركة كيلر Keplerian Motion

شكل العالم يوهان كيلر 1571-1630 *Johannes Kepler* قوانينه الثلاثة المتعلقة بحركة الكواكب تجريبياً معتمداً على قياسات الفلكي *Tycho Brahe* 1546-1601 الذي أجرأها في الدانمارك. القوانين الثلاثة تعطي وصفاً وليس تفسيراً لحركة الكواكب. هذه القوانين تتضمن تقريرات كبيرة للحركات الحقيقة داخل المجموعة الشمسية لأنَّ كتلة الكواكب يمكن إهمالها بالمقارنة مع كتلة الشمس ولأنَّه يمكن اعتبار الشمس كنقطة كثيلية بإعتبار أن المسافات شاسعة بين الأجرام وبينها. لذلك تدعى الحركة التقليدية الغير معاقة بحركة كيلر.

القانون الأول: إن مسار كل كوكب هو إهليج نقع الشمس في أحد محقيقه.

الشكل الهندسي للمدار معرف في هذا القانون، الشكل 3.1 يبين الرموز الإعتيادية.



شكل 3.1: الشكل الهندسي للمدار الإهليجي.

يدعى المحور الرئيسي $A\pi$ خط التكؤ *Line of Apside*

في حال اعتبار أن النقطة O هي مركز المجموعة الشمسية تدعى إذا النقطة المركبة بـ *Apocenter* والنقطة π الأقرب *Pericenter*.

في حال اعتبار أن النقطة O هي مركز كتلة الشمس تدعى النقطة A *Perihelion* والنقطة π *Aphelion*.

في حال اعتبار أن النقطة O هي مركز كتلة الأرض فتدعى النقطة A *Apogee* والنقطة π *Perigee*. الزاوية v تدعى دواما الإنحراف الحقيقي. نفترض حركة كيلر متساوياً للحركة. يمكن إعتماد مستوى المدار هذا لتعريف جملة إحداثيات بحيث تشكل النقطة O المبدأ. يمكن تعريف موقع نقطة كتلة m عندئذ بإحداثياتها القطبية في المستوى (r, v) . بفرض $0 \leq v \leq \pi$ أحد محاور الإحداثيات المدارية وباعتبار:

r بعد النقطة ذات الكتلة m عن مركز الكتلة الرئيسية،

v الإنحراف الحقيقي،

نصف طول المحور الكبير، e الامرکزية العددية، p وسيط متعلق بالإهليج، نجد عندها معادلة المنحنى الإهليجي:

$$r = \frac{p}{1 + e \cos v}$$

وهذه العلاقة تعطي الشكل الرياضي لقانون كيلر الأول.

قبل تقديم القانون الثاني يمكن عرض بعض العلاقات البسطة الممكن إشتقاقها من الشكل الهندسي:

$$p = \frac{b^2}{a}; \quad e = \sqrt{1 - \frac{b^2}{a^2}}; \quad a = \frac{p}{1 - e^2}; \quad b = \frac{p}{\sqrt{1 - e^2}}. \quad 3.1$$

حيث $a.e$ الامرکزية الخطية والتي تساوي البعد بين نقاط المحارق ومركز المدار.

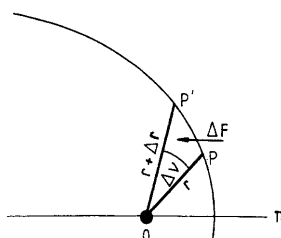
من أجل $e=0$ فإن $p=a$ ويتحول الإهليج إلى دائرة. يمكن إستعمال الزاوية الامرکزية φ عوضاً عن e , عندها تتحقق العلاقات:

$$\begin{aligned} e &= \sin \varphi & \sqrt{1 - e^2} &= \cos \varphi \\ p &= a \cos^2 \varphi & b &= a \cos \varphi = p \sec \varphi. \end{aligned} \quad 3.2$$

القانون الثاني: الخط الواصل من الشمس إلى أي كوكب يمسح مساحات متساوية من الفضاء خلال أزمنة متساوية.

ويدعى أيضاً قانون المساحات، ويصف سرعة الكوكب في مداره. إعتماداً على هذا القانون يمكن تعريف كوكب كتابع للزمن بإحداثيات قطبية (r, v) . من الشكل 3.2 لدينا

$$\Delta F = \frac{1}{2} r^2 \Delta v. \quad 3.3$$



شكل 3.2: حركة القمر حسب قانون كيلر الثاني.

العلاقة 3.3 صالحة تقريباً من أجل مثلث متاهي بالصغر O, P, P' . وحسب القانون الثاني تتناسب المنطقة الممسوحة ΔF بواسطة الشاعر r مع الفترة الزمنية المرافقة Δt ,

$$r^2 \Delta v = c \cdot \Delta t \quad 3.4$$

حيث c ثابتة. وكتب العلاقة بشكل تقاطلي

$$r^2 \frac{dv}{dt} = c. \quad 3.5$$

العلاقة 3.5 تعبر عن قانون كيلر الثاني بشكل رياضي.

يمكن كتابة علاقات إضافية، بإدراج إحداثيات عمودية y, x . من الشكل 3.1 نجد

$$x = r \cos v$$

$$y = r \sin v \quad 3.6$$

$$r = \sqrt{x^2 + y^2}$$

وكذلك

$$\tan v = \frac{y}{x}. \quad 3.7$$

بإشتغال العلاقة 3.7 بالنسبة للزمن نحصل على

$$\frac{\dot{v}}{\cos^2 v} = \frac{x \dot{y} - y \dot{x}}{x^2}. \quad 3.8$$

بتعميض 3.6 بالعلاقة 3.8 و إدخال 3.8 بالعلاقة 3.5 نجد معادلة تصف قانون كيلر الثاني بواسطة إحداثيات عمودية

$$x \dot{y} - y \dot{x} = c. \quad 3.9$$

تدعى الثابتة c بثابتة المساحة.

القانون الثالث: إن مكعب أنصاف المحور الكبير لمدارات الكواكب متناسب مع مربع طور دوراناتها.

يعني ذلك بشكل رياضي أنه من أجل كوكب P_i ذو طور دوران U_i ، حركة نسبية

$$n_i = \frac{2\pi}{U_i} \quad 3.10$$

ونصف قطر محور كبير a_i :

$$\frac{a_i^3}{U_i^2} = \frac{C^2}{4\pi^2} \quad 3.11$$

حيث C هي ثابتة من أجل المجموعة الكوكبية. بإدماج العلاقة 3.10 و 3.11 يكتب التعبير المستخدم عادة:

$$a_{\hat{a}}^3 \cdot n_{\hat{a}}^2 = C^2. \quad 3.12$$

توصل كيلر لهذا القانون بشكل تجريبي لأنه يصف حركة الكواكب الكبيرة بشكل تقريري. ولكن تم الحصول على قيمة عددية مختلفة كلها من أجل أقمار كوكب المشتري *Jupiter*. لذلك تستخدم العلاقة

$$\frac{a^3}{U^2} = \frac{k^2}{4\pi^2} (M + m) \quad 3.13$$

حيث k ثابتة عامة و M و m هما الكتل المعتبرة. يمكن تعين كتل الأجسام السماوية بـ واستعمال العلاقة 3.13.

تصف قوانين كيلر أبسط شكل لحركة الأجسام السماوية بفرض أنه لا توجد هناك قوى خارجية مؤثرة، وأن الكتل المعتبرة يمكن اعتبارها كقطاط كتيلية أو اعتبار أجسام متجانسة ذات توزع كتيلي كروي. من أجل حركة قمر صناعي حول الأرض تصح تلك الفرضيات فقط كتقريب أولي. تشكل مدارات كيلر مدارا مرجعا مبسطا وتعطي معلومات نوعية عن شكل الحركة. كان كيلر يعتقد بين تلك الحركات تتبع قوانين عامة. تلك القوانين العامة تم إيجادها من قبل إسحاق نيوتن 1643-1727 تحت إسم قانون الجاذبية.

3.1.2 ميكانيك نيوتن ومسألة جسمين Newton Mechanics and Two Body- Problem

3.1.2.1 معادلة الحركة Equation of Motion

في الكتاب الأول (المبادئ *principia*) قدم نيوتن قوانين الحركة الثلاثة:

- 1- كل جسم يبقى، في حالة سكونه أو حالة حركته حركة منتظمة بخط مستقيم، على حالته ما لم يجبر على تغيير حالته بتأثير قوة خارجية.
- 2- درجة تغير كمية التحرك (التسارع *momentum*) للجسم تتناسب مع القوة المؤثرة وهو بنفس إتجاه تأثير الحركة.

3- لكل فعل هناك رد فعل يساويه ويتعاكسه بالإتجاه.

يعبر عن القانون الثاني بالعلاقة

$$K = m \ddot{r} \quad 3.14$$

حيث K هو المجموع الشعاعي لكل القوى المؤثرة على الكتلة m و \ddot{r} شعاع التسارع للكتلة، مقاس في إطار مرجعي عطالي. إضافة لذلك فقد وصف نيوتن قانون الجاذبية العامة عام 1687 كما يلي:

$$K = -G \frac{Mm}{r^2}. \quad 3.15$$

حيث G ثابتة الجاذبية العامة:

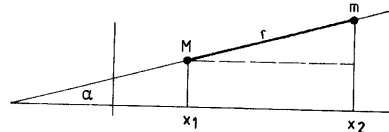
$$G = 6.673 \cdot 10^{-11} \text{ m}^3 \text{ kg}^{-1} \text{ s}^{-2}. \quad 3.16$$

في نظام إحداثيات ديكارتى بمحاور x, y, z وبنسبات α, β, γ بين إتجاهات القوة ومحاور الجملة فنجد من العلاقة 3.14 من حركة M بالنسبة إلى m موصوفة بالمركبات (شكل 3.3) :

$$M \ddot{x}_1 \approx K_x \approx K \cos \alpha \quad 3.16$$

وبتعويض 3.15 نجد

$$M \ddot{x}_1 = -G \frac{Mm}{r^2} \cos \alpha = -G \frac{Mm}{r^3} (x_1 - x_2).$$



شكل 3.3: مركبات ضمن معادلة الحركة لنيوتن.

بعد إعادة ترتيب المعادلة نجد من أجل المركبات الثلاثة:

$$\begin{aligned} M \ddot{x}_1 &= G \frac{Mm}{r^3} (x_2 - x_1) \\ M \ddot{y}_1 &= G \frac{Mm}{r^3} (y_2 - y_1) \\ M \ddot{z}_1 &= G \frac{Mm}{r^3} (z_2 - z_1). \end{aligned} \quad 3.17$$

من حركة m بالنسبة إلى M نجد:

$$\begin{aligned} m \ddot{x}_2 &= -G \frac{Mm}{r^3} (x_2 - x_1) \\ m \ddot{y}_2 &= -G \frac{Mm}{r^3} (y_2 - y_1) \\ m \ddot{z}_2 &= -G \frac{Mm}{r^3} (z_2 - z_1). \end{aligned} \quad 3.18$$

بنقل مبدأ مجموعة الإحداثيات إلى مركز الكتلة M بإستعمال التعويض $x_2 - x_1 = x$, $y_2 - y_1 = y$, $z_2 - z_1 = z$ ، وبنقسم العلاقات 3.17 على M وال العلاقات 3.18 على m وثم طرح المجموعتين 3.17 و 3.18 من بعضهما:

$$\begin{aligned} \ddot{x} &= -G(M+m) \frac{x}{r^3} \\ \ddot{y} &= -G(M+m) \frac{y}{r^3} \\ \ddot{z} &= -G(M+m) \frac{z}{r^3} \\ r^2 &= x^2 + y^2 + z^2 \end{aligned} \quad 3.19$$

حيث

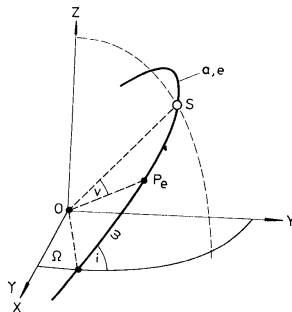
وبشكل شعاعي يكون

$$\ddot{\mathbf{r}} = \frac{d^2 \mathbf{r}}{dt^2} = -G \frac{M+m}{r^3} \mathbf{r}. \quad 3.20$$

من أجل قمر صناعي يمكن إهمال الكتلة m . تصبح المعادلة الأساسية لحركة القمر بالشكل التالي:

$$\ddot{\mathbf{r}} = -\frac{GM}{r^3} \mathbf{r}. \quad 3.21$$

حيث r هو شعاع الموقع الجبومركزي للقمر الصناعي. إن العلاقة 3.21 هي الشكل الشعاعي لعلاقة تفاضلية من المرتبة الثانية ذات ستة ثوابت تكاملات. هذا يعني أن حركة جسم سماوي حول جسم مركزي، مسببة بالجذب المتبادل، لها 6 وسائط مستقلة. تستعمل عادة عناصر مدار كيلر *Kepler's elements* كما في الشكل 3.4. حيث يمثل a نصف طول المحور الكبير، e الامرکزية العددية، i زاوية ميلان *inclination* المدار، Ω زاوية الصعود المستقيم *right ascension of the ascending node* للعقدة الصاعدة، ω مضمون الـ *argument of perigee* (أقرب نقطة إلى الجسم المركزي) و v زاوية الإنحراف الحقيقي *true anomaly*.



شكل 3.4: عناصر كيلر المدارية.

تم إشتقاق المعادلة 3.21 بإعتبار تأثير قوى الجاذبية فقط، إهمال كتلة القمر الصناعي، وكثافة الجسم المركزي مركزية بنقطة. وهذا، في الواقع العلمي، غير صحيح لأن عدم تجانس تركيب الأرض الحقيقية يؤثر على حركة الأقمار الفريدة منها. بناء على ذلك يمكن اعتبار مدار كيلر كتقريب أولي للمدارات الحقيقية للأقمار. سوف نتعرض لمناقشة تأثير العوامل المؤثرة الأخرى في الفقرة 3.2. إن تكاملات العلاقة 3.21 توصلنا إلى معطيات هامة، من بينها إمكانية إشتقاق قوانين كيلر لحركة الأقمار الصناعية من قانون نيوتن في الجاذبية والحركة.

التكاملات:

بجداء المعادلات 3.19 بـ x, y, z على الترتيب وتشكيل أزواج من التفاضلات نجد

$$\begin{aligned} x\ddot{y} - y\ddot{x} &= 0 \\ y\ddot{z} - z\ddot{y} &= 0 \\ z\ddot{x} - x\ddot{z} &= 0. \end{aligned} \quad 3.22$$

وبالتكامل يكون

$$\begin{aligned} x\dot{y} - y\dot{x} &= C_1 \\ y\dot{z} - z\dot{y} &= C_2 \\ z\dot{x} - x\dot{z} &= C_3 \end{aligned} \quad 3.23$$

حيث C_1, C_2, C_3 ثوابت. بجداء المعادلات الواحدة بعد الأخرى بـ y, z, x وتشكيل المجموع الكلي يحذف القسم اليساري من المعادلات ويكون

$$C_1z + C_2x + C_3y = 0. \quad 3.24$$

وهذه معادلة مستوى يحتوي على مركز جملة الإحداثيات. ويمكن القول أن القمر الصناعي يدور في مستوى يحوي على مركز الجسم المركزي. يمكن تحديد توجيه هذا المستوى بواسطة وسيطين، مثلًا i و Ω كما في الشكل 3.4. العلاقة بين الوسيطين i و Ω وبين الثوابت تكون عندها

$$\begin{aligned} \frac{C_1}{N} &= \sin \Omega \sin i \\ \frac{C_2}{N} &= -\cos \Omega \sin i \\ \frac{C_3}{N} &= \cos i \end{aligned} \quad 3.25$$

حيث $N = \sqrt{C_1^2 + C_2^2 + C_3^2}$ هو ناظم مستوى المدار.

باعتبار ان الحركة موجودة على مستوى فيمكن إدراج جملة إحداثيات مستوية عمودية ξ, η ذات مبدأ يقع في مركز كثافة الجسم المركزي (شكل 3.5). تكون معادلات الحركة الموافقة للعلاقة 3.21 حسب مركباتها كما يلي:

$$\ddot{\xi} = -GM\frac{\xi}{r^3}; \quad \ddot{\eta} = -GM\frac{\eta}{r^3} \quad 3.26$$

$$r^2 = \xi^2 + \eta^2 \quad \text{حيث}$$

والعلاقة الموافقة للعلاقة 3.22 تكون

$$\dot{\xi}\ddot{\eta} - \eta\ddot{\xi} = 0 \quad 3.27$$

والتي تصبح بعد التكامل

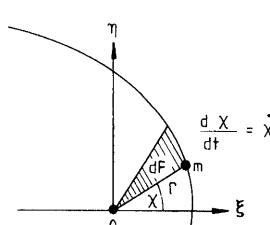
$$\xi\dot{\eta} - \eta\dot{\xi} = p_1. \quad 3.28$$

بتعويض العلاقة 3.28 بإحداثيات قطبية

$$\xi = r \cos \chi \quad \eta = r \sin \chi \quad 3.29$$

تعطي

$$r^2 \dot{\chi} = p_1. \quad 3.30$$



شكل 3.5: توضيح قانون المساحات.

باعتبار مساحة متناهية في الصغر dF , ممسوحة بواسطة الشاعر r خلال الزمن المتاهي بالصغر dt (شكل 3.5) نجد من أجل مساحة المثلث المتاهي في الصغر

$$dF = \frac{1}{2}r^2 \dot{\chi} dt \quad \text{ومنه}$$

$$\frac{dF}{dt} = \frac{1}{2}r^2 \dot{\chi} = \frac{1}{2}p_1 \quad 3.31 \quad \text{لذلك}$$

$$F = \frac{1}{2}p_1 t + p_2. \quad 3.32$$

العلاقتين 3.31 و 3.32 نحتويان على قانون كيلر الثاني، حيث يمكن القول:

- تجري الحركة في مستوى
- الحركة تتبع قانون المساحات.

يتبقى إثبات برهان حول المدار. بجاء العلاقة 3.26 بالحدود $\dot{\xi}, \dot{\eta}$ على الترتيب

$$\ddot{\xi} 2\xi = -GM\frac{\xi}{r^3} 2\xi \quad \ddot{\eta} 2\eta = -GM\frac{\eta}{r^3} 2\eta \quad 3.33$$

وبالجمع ينتج

$$\frac{d}{dt}(\dot{\xi}^2 + \dot{\eta}^2) = -\frac{2GM}{r^3} (\xi\dot{\xi} + \eta\dot{\eta}). \quad 3.34$$

$$r^2 = \zeta^2 + \eta^2 \quad \text{حيث}$$

$$2r\dot{r} = 2\xi\dot{\xi} + 2\eta\dot{\eta}$$

ويتبع

$$\frac{d}{dt}(\dot{\xi}^2 + \dot{\eta}^2) = -\frac{2GM}{r^3}\dot{r} = 2GM\left(\frac{1}{r}\right) \quad 3.35$$

وتصبح بعد التكامل

$$\dot{\xi}^2 + \dot{\eta}^2 = 2\frac{GM}{r} + p_3. \quad 3.36$$

نحصل بذلك الإحداثيات القطبية وبعد التفاضل على

$$\dot{r}^2 + r^2\dot{\chi}^2 = \frac{2GM}{r} + p_3. \quad 3.37$$

إحدى حلول تلك المعادلة التفاضلية هي

$$r = \frac{p}{1 + e \cos(\chi - \bar{\omega})} \quad 3.38$$

حيث $\bar{\omega}$, p , e , χ ثوابت. تشكل العلاقة 3.38 الشكل القطبي لمقطع مخروطي. من أجل $\bar{\omega} = \chi$ تصبح مسافة القمر r أصغرية، وهذا يعني أن القمر يمر من نقطة الحضيض *perigee* (فقرة 3.1.1) وشكل 3.1. (3). بإعتبار أن المسافة الزاوية لقمر من نقطة الحضيض تدعى الإنحراف الحقيقي v فإن العلاقة

$p = a(1-e^2)$ تكون صحيحة. في حال $v=90^\circ$ يكون $r=p$. ونعرف من العلاقات 3.2 أن $v = \omega + \chi$ يمكن الآن وصف ثوابت التكامل هندسياً وتصبح العلاقة

$$r = \frac{p}{1 + e \cos v}. \quad 3.39$$

في حال قياس مضمون الإرتفاع *argument of latitude* $u = \omega + v$ من العقدة الصاعدة *ascending node* لمدار القمر، يمكن عندها تثبيت مبدأ قياس الروابي. يمكن كتابة العلاقة 3.39 بشكل آخر أيضاً

$$r = \frac{p}{1 + e \cos(u - \omega)}, \quad 3.40$$

حيث يعرف ω بأنه مضمون نقطة الحضيض *argument of perigee* (شكل 3.4). حتى الآن فقد تعاملنا بخمس عناصر من أصل عناصر التكامل الستة المذكورة وهي

$$\Omega, i, \omega, e, a.$$

الثابت الأخير هو الكمية p_2 في العلاقة 3.32، قانون كيلر للمساحات، الذي يعين موقع القمر المتعلق بالزمن في مداره. تستعمل عدة وسائل متكافئة من بينها زمن عبور t_0 نقطة الحضيض *perigee* أو الإنحراف الحقيقي v . يمكن كتابة العلاقات التالية بين عناصر مدار كيلر وبين ثوابت التكاملات

$$p = \frac{p_1^2}{GM}, \quad e^2 = 1 + \frac{p_1^2 p_3}{G^2 M^2}, \quad p_1 = \sqrt{GMp}, \quad p_3 = \frac{-GM}{a}. \quad 3.41$$

يمكن تشكيل قانون كيلر الثالث من العلاقات 3.32 و 3.41. إن فترة دوران قمر صناعي هي $T = t_2 - t_1$ ونحصل بذلك على مساحة مقطوعة بعد دورة كاملة

$$F_2 - F_1 = \frac{1}{2} p_1(t_2 - t_1) = \pi ab \quad 3.42$$

وهذا يعني مساحة إهليج. ومن العلاقات التالية

$$p_1 = \sqrt{GMp}, \quad b^2 = a^2(1 - e^2), \quad p = a(1 - e^2)$$

نحصل بعد إعادة بعض الترتيبات على

$$T = \frac{2\pi}{\sqrt{GM}} a^{\frac{3}{2}} \quad 3.43$$

والحركة الزاوية الوسطية

$$n = \frac{2\pi}{T} \quad 3.44$$

ينتج التعبير الرياضي لقانون كيلر الثالث

$$a^3 n^2 = GM \quad 3.45$$

وبذلك تم إشتقاق قوانين كيلر الثلاثة بإعتماد علاقات نيوتن الأساسية 3.14، 3.15، 3.36. بإستخدام المعادلة 3.36 وتعويض 3.41 يمكن الحصول على علاقة هامة أخرى من أجل p_3 تعطي سرعة القمر الصناعي في مداره

$$\begin{aligned} v^2 &= \dot{\xi}^2 + \dot{\eta}^2 = 2\frac{GM}{r} - \frac{GM}{a} \\ v^2 &= GM\left(\frac{2}{r} - \frac{1}{a}\right). \end{aligned} \quad 3.46$$

العلاقة 3.37 مع تعويض $v = \sqrt{GMa(1-e^2)}$ تعطي العلاقة التالية بالإحداثيات القطبية

$$v^2 = \dot{r}^2 + r^2 \dot{\nu}^2 = GM\left(\frac{2}{r} - \frac{1}{a}\right). \quad 3.47$$

تبين المعادلة أن سرعة جسم سماوي تتعلق بالمسافة r ونصف القطر الكبير a وليس باللامركزية وبالتالي ليس بشكل المدار. إضافة لذلك بإعتبار المعادلة 3.30 وتبديل 3.41 و 3.1 من أجل p_1 نصل إلى شكل آخر لقانون كيلر الثاني

$$r^2 \dot{\nu} = \sqrt{GMa(1-e^2)}. \quad 3.48$$

بتتعويض قيمة v من 3.47 في 3.48 نحصل على

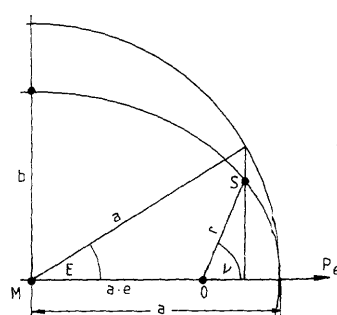
$$\dot{r}^2 + r^2 \frac{GMa(1-e^2)}{r^4} = GM\left(\frac{2}{r} - \frac{1}{a}\right). \quad 3.49$$

بتتعويض 3.45 بالعلاقة 3.49 نحصل على

$$ndt = \frac{r}{a} \frac{dr}{\sqrt{a^2 e^2 - (r-a)^2}}. \quad 3.50$$

لدينا من الشكل 3.6 العلاقة

$$r = a(1 - e \cos E) \quad 3.51$$



شكل 3.6: العلاقة بين الإنحراف الحقيقي ν واللامركزي E .

تعوض العلاقة 3.51 بالعلاقة 3.50 فينتج

$$ndt = (1 - e \cos E)dE. \quad 3.52$$

ويعطي التكامل

$$n(t - t_0) = E - e \sin E. \quad 3.53$$

يدعى الوسيط E بالإنحراف اللامركزي *eccentric anomaly*. يمكن اعتبار ثابتة التكامل t_0 زمن عبور القمر في نقطة الحضيض *perigee* (أقرب نقطة من المسار إلى الجسم المركزي). الطرف الأيسر من المعادلة يزداد مع الزمن. يمكن تعريف، عوضاً عن الزمن t ، متحولًا جديداً \bar{M} الإنحراف الوسطي *mean anomaly* ويعرف كما يلي:

$$\bar{M} = n(t - t_0). \quad 3.54$$

تدعى العلاقة

$$\bar{M} = E - e \sin E \quad 3.55$$

معادلة كيلر. وتعطى العلاقة مع الإنحراف الحقيقي ν بالمعادلة التالية

$$\tan \nu = \frac{\sqrt{1-e^2} \sin E}{\cos E - e}. \quad 3.56$$

تأخذ كل الإنحرافات E , \bar{M} قيمة الصفر عند مرورها ب نقطة الحضيض. وهن يعرّفون موقع القمر في مستوى مداره وبالتالي فهن ملائمات لاتخاذهن ك وسيط سادس للمدار. يفضل في جيوديزيا الأقمار الصناعية إتخاذ الإنحراف الوسطي \bar{M} لأنّه يمكن استخراجه بشكل خطى مع الزمن. لحل قيمة E من قيمة \bar{M} ، فإن العلاقة 3.55 يجب أن تحوال إلى منشور سلسلة إهليجية. يمكن إيجاد عدة حلول في المراجع المختصة. إحدى الحلول مثلا:

$$\begin{aligned} E &= \bar{M} + \left(e - \frac{1}{8}e^3 + \frac{1}{192}e^5 - \frac{1}{9216}e^7 \right) \sin \bar{M} \\ &\quad + \left(\frac{1}{2}e^2 - \frac{1}{6}e^4 + \frac{1}{48}e^6 \right) \sin 2\bar{M} \\ &\quad + \left(\frac{3}{8}e^3 - \frac{27}{128}e^5 + \frac{243}{5120}e^7 \right) \sin 3\bar{M} \\ &\quad + \left(\frac{1}{3}e^4 - \frac{4}{15}e^6 \right) \sin 4\bar{M} + \left(\frac{125}{384}e^5 - \frac{3125}{9216}e^7 \right) \sin 5\bar{M} \\ &\quad + \frac{27}{80}e^6 \sin 6\bar{M} - \frac{16807}{46080}e^7 \sin 7\bar{M} + \dots \end{aligned} \quad 3.57$$

من أجل لامركزيات صغيرة (مدارات أقمار نظام GPS مثلًا) فإن علاقة التقرير المتتالي تعطى حلًا سريعًا جدا

$$\begin{aligned} E_0 &= \bar{M} \\ E_i &= \bar{M} + e \sin E_{i-1}, \quad i = 1 \dots \end{aligned} \quad 3.58$$

3.2 حركة القمر الصناعي المعاقة Perturbed Satellite Motion

تم حتى الآن اعتبار حركة القمر الصناعي ذو الكثافة المهمة تحت تأثير قوة جذب مركزية لنقطة كثوية وحيدة M . تم وصف حركة كيلر هذه بالعلاقة الأساسية 3.21. يعطى تكامل تلك العلاقة

$$\begin{aligned} \mathbf{r}(t) &= \mathbf{r}(t; a_1 \dots a_6) \\ \dot{\mathbf{r}}(t) &= \dot{\mathbf{r}}(t; a_1 \dots a_6) \end{aligned} \quad 3.59$$

حيث أن a_1, \dots, a_6 ثوابت تكامل حركة الإختيار. يفضل إستعمال عناصر مدار كيلر

يؤثر في الواقع عدد معين من القوى الإضافية على الأقمار الصناعية القريبة من الأرض. تدعى تلك القوى بالقوى المزعجة أو المشوّشة أو المعيبة *perturbing forces* لتمييزها عن قوة الجسم المركزي. يعني القمر الصناعي من تسارعات إضافية بسبب تأثير تلك القوى، والتي يمكن أن تدمج بشعاع الإعاقات k_s . يمكن عندها كتابة معادلة الحركة المعتمدة كما يلى:

$$\ddot{\mathbf{r}} = -\frac{GM}{r^3} \mathbf{r} + \mathbf{k}_s. \quad 3.60$$

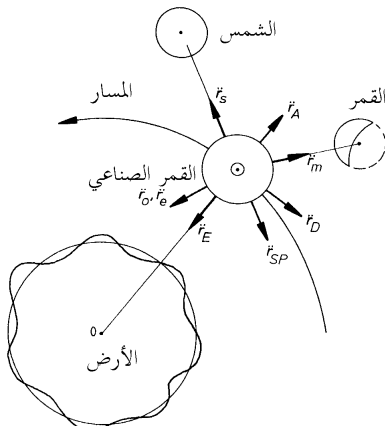
إن القوى المعيبة هي في الواقع

- تسارعات بسبب عدم تكوير وعدم تجانس توزع الكثافة في جسم الأرض المركزي \ddot{r}_E
- تسارعات بسبب أجسام سماوية أخرى (شمس، قمر و كواكب) \ddot{r}_m, \ddot{r}_s
- تسارعات بسبب المد والجزر *tides* لجسم الأرض والمحيطات \ddot{r}_o, \ddot{r}_e
- تسارعات بسبب إحتكاك الغلاف الجوي *atmospheric drag* \ddot{r}_D
- تسارعات بسبب ضغط الإشعاع الشمسي *solar radiation pressure* r_A المباشر والمنعكس من الأرض \ddot{r}_{SP}

ويكون شعاع الإعاقات الكلي

$$\mathbf{k}_s = \ddot{r}_E + \ddot{r}_s + \ddot{r}_m + \ddot{r}_e + \ddot{r}_o + \ddot{r}_D + \ddot{r}_{SP} + \ddot{r}_A. \quad 3.61$$

يبين الشكل 3.7 رسم تمهيلي للقوى المعاقة.



شكل 3.7: القوى المعاقة المؤثرة على القمر الصناعي في مداره.

يتعلق التسارع الكلي الناتج بموقع القمر r , أي كمية يجب تعبيتها من حل المعادلة التقاضية 3.60 كتاب لزمن وهذا يعني أن تكامل المعادلة مسألة معقدة. إحدى الطرق المتبرعة عادة لحل مسائل معقدة كهذه هي بإعتماد تسهيلات معقولة، وتصحيح الأخطاء الناتجة بمرحلة ثانية مستقلة. تدعى تلك التسهيلات المعقولة وسطية intermediate. وبناء على ذلك يمكن تسمية حركة القمر الصناعي وفق المعادلين 3.21 و 3.59 بأنها حركة وسطية intermediate motion أو حركة أساسية. يتم استخدام إجرائين لحل مسألة الحركة المعاقة. في الحالة الأولى تعتبر إحداثيات القمر الصناعي معاقة disturbed (مشوشة) بشكل مباشر. يعين تأثير القوى المعاقة على الإحداثيات بشكل عددي وتحسب الفروقات بين الإحداثيات المعاقة وغير المعاقة. تدعى هذه الطريقة بالتكامل العددي للمدار. في الحالة الثانية تعتبر ثوابت التكامل a_i للحالة الغير معاقة (علاقة 3.59) كثوابع متعلقة بالزمن. يكون حل الحركة المعاقة بشكل رمزي

$$\begin{aligned} \mathbf{r}(t) &= \mathbf{r}(t; a_1(t), \dots, a_6(t)) \\ \dot{\mathbf{r}}(t) &= \dot{\mathbf{r}}(t; a_1(t), \dots, a_6(t)), \end{aligned} \quad 3.62$$

حيث يجب إيجاد تعابير رياضية لعناصر المدار المرتبطة بالزمن. يدعى هذا الإجراء بالتكامل التحليلي analytical integration. تكمن الفكرة الأساسية بإعتبار الإعاقات كإنحرافات بين عناصر كيلر الوسطية intermediate في زمن معين وبينها في نقاط زمنية أخرى. لتطبيق الطريقة الأخيرة فمن الضروري الإبتداء بحل تقريري لمعادلة الحركة. يمكن تحقيق هذه الشروط بإستخدام وسائل كيلر من أجل الأقمار الصناعية القريبة من الأرض وكواكب المجموعة الشمسية.

3.2.1 تمثيل الحركة المدارية Representation of Orbital Motion

3.2.1.1 عوامل المدار المماسية أو الوسطية Osculation and Mean Orbital Elements

إن الرغبة بالحصول على عناصر مدارية متعلقة بالزمن يقود إلى مفهوم عناصر المدار المماسية osculation orbital elements. بإعتبار قمر صناعي ذو حركة تتبع المعادلة 3.60 قوله الموقع $\mathbf{r}(t_k)$ في الزمن $t=t_k$ وشعاع السرعة $\dot{\mathbf{r}}(t_k)$. بإعتبار أن كل عوامل الإعاقات k_s يمكن حذفها في تلك اللحظة t_k , عندها تمثل حركة القمر اللاحقة بحركة كيلر الغير معاقة ذات الشروط البدائية $(\mathbf{r}(t_k), \dot{\mathbf{r}}(t_k))$. يدعى هذا المدار بالمماسي osculating أو اللحظي، لأنه ينطبق مع المدار الحقيقي المعاك في اللحظة t_k حيث العناصر البدائية متتساوية. عملياً لاختفي القوى المعاقة لحركة القمر الصناعي، لذلك يقع القمر على مدار مماسي آخر مختلف من أجل كل نقطة زمنية. يمكن إعتبار المدار الحقيقي للقمر الصناعي كمغلَّف لكل المدارات المماسية ذات عناصر التماس $(a(t_k), e(t_k), \dots, \bar{M}(t_k))$. بإعتبار t_k عامل زمني يزداد بإستمرار فيمكن تفسير حركة القمر المعاقة بكونها حركة دوبлер ذات وسائط متغيرة مع الزمن $(a(t), e(t), i(t), \Omega(t), \omega(t), \bar{M}(t))$. تمثل تلك العناصر تقريراً جيداً في تطبيقات جيوديزيا الأقمار الصناعية القريبة من الأرض حيث أن قوة جذب الأرض هي القوة الرئيسية المؤثرة والعناصر المذكورة لا تتغير بسرعة. لذلك يمكن تقريب عناصر المدار بمنشور أسي بدلاًلة فروق زمنية $(t-t_0)$ حيث t_0 زمن وسطي:

$$a_i(t) = a_i(t - t_0) + \dot{a}_i(t - t_0) + \ddot{a}_i(t - t_0)^2 + \dots \quad (i = 1, \dots, 6) \quad 3.63$$

يعود أصل العنصر المماس a_i إلى مجموع حدود (تغيرات) طويلة وقصيرة الأمد

$$a_i(t) = \bar{a}_i(t) + \Delta a_i(t). \quad 3.64$$

($\bar{a}_i(t)$) يحتوي مجموع أجزاء التغيرات الصغيرة التردد الزمنية القرنية *secular* (الذي يحدث مرة كل فترة طويلة، قرن أو عدة قرون) والثابتة، بينما يحوي ($\Delta a_i(t)$) التغيرات العالية التردد. تدعى الحدود ($\bar{a}_i(t)$) بالعناصر الوسطية. وهكذا يمكن اعتبار العناصر الوسطية عناصر مماسية بغياب الحدود الدورية *periodic terms*.

3.2.1.2 معادلات الإعاقات للاغرانج Lagrange Perturbation Equations

يجب إنشاء علاقة بين القوى المعاقة المؤثرة والتغيرات المرتبطة بالزمن لعناصر المدار. شكل لاغرانج (1736-1813) العلاقات الأساسية الملائمة. ندرج في مايلي مختصر العلاقات دون الدخول في التفاصيل الممكن الرجوع لها في المراجع المختصة. يمكن كتابة العلاقة 3.47 بالشكل

$$E_M = \frac{v^2}{2} - \frac{GM}{r} \quad 3.65$$

حيث تمثل الثابتة E_M الطاقة الكلية *energy integral*. يمثل الحد الأول الطاقة الحركية للقمر الصناعي بكلة واحدة $m=1$ ، والحد الثاني طاقته الكامنة *potential energy* بحيث أن الطاقة الميكانيكية الكاملة لحركة القمر الصناعي تبقى ثابتة في حال عدم وجود تأثيرات قوى خارجية. سبب الإشارة السالبة في حد الطاقة الكامنة هو اعتبار مبدأ الطاقة الكامنة موجود في اللانهاية. بكتابة العلاقة 3.65 من أجل أقرب نقطة للمدار من الجسم المركزي (الحضيض *perigee*) ينتج لدينا مع تجاوز التفاصيل

$$E_M = -\frac{GM}{2a} \quad 3.66$$

حيث تعبّر تلك العلاقة عن كون طول نصف المحور الكبير لمدار قمر ما يتعلّق بالطاقة الكلية للقمر فقط. يمكننا إذا كتابة

$$E_M = \frac{v^2}{2} - \frac{GM}{r} = -\frac{GM}{2a} \quad 3.67$$

يدعى أيضاً الحد السالب للطاقة الكلية $\frac{GM}{2a}$ بتابع القوة F . بإعتبار القيمة السالبة للطاقة الكامنة V والطاقة الحركية T يكون تابع القوة F :

$$F = V - T. \quad 3.67$$

في حقل قوى غير مركزي تكون

$$\partial V = \frac{GM}{r} + R \quad 3.68$$

$$F = \frac{GM}{r} + R - T = \frac{GM}{2a} + R. \quad 3.69$$

يحتوي التابع R كل مركبات الحد المركزي $\frac{GM}{r}$ ويدعى تابع الإعاقات أو طاقة الإعاقات *disturbing potential*.

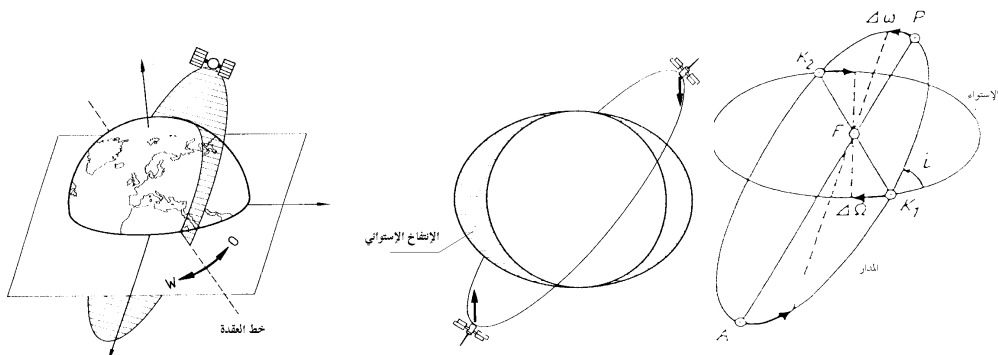
يتبع حسب لاغرانج، تكوين العلاقة بين R وبين تغيرات عناصر المدار

$$\begin{aligned} \frac{da}{dt} &= \frac{2}{na} \frac{\partial R}{\partial M} \\ \frac{de}{dt} &= \frac{1-e^2}{na^2 e} \frac{\partial R}{\partial M} - \frac{\sqrt{1-e^2}}{na^2 e} \frac{\partial R}{\partial \omega} \\ \frac{d\omega}{dt} &= -\frac{\cos i}{na^2 \sqrt{1-e^2} \sin i} \frac{\partial R}{\partial i} + \frac{\sqrt{1-e^2}}{na^2 e} \frac{\partial R}{\partial e} \\ \frac{di}{dt} &= \frac{\cos i}{na^2 \sqrt{1-e^2} \sin i} \frac{\partial R}{\partial \omega} - \frac{1}{na^2 \sqrt{1-e^2} \sin i} \frac{\partial R}{\partial \Omega} \\ \frac{d\Omega}{dt} &= \frac{1}{na^2 e \sqrt{1-e^2} \sin i} \frac{\partial R}{\partial i} \\ \frac{dM}{dt} &= n - \frac{1-e^2}{na^2 e} \frac{\partial R}{\partial e} - \frac{2}{na} \frac{\partial R}{\partial a}. \end{aligned} \quad 3.70$$

يتطلب التكامل التحليلي لعلاقات الإعاقات 6.70 كون طاقة الإعاقات مكتوبة كتابع لعناصر المدار. يعتبر التكامل التحليلي أفضل طريقة لإدخال الإعاقات على مدارات الأقمار الصناعية.

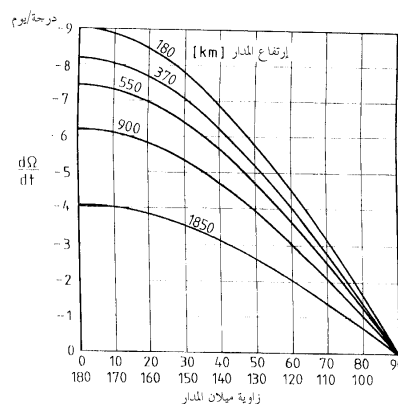
3.2.2 الحركة المعاقة بسبب تغيرات حقل الجاذبية الأرضية Disturbed Motion due to the Anomalous Earth's Gravity Field

القوة المعاقة المهيمنة على مدار الأقمار الصناعية القريبة من الأرض هي بسبب نفطاح الأرض (شكل 3.8).



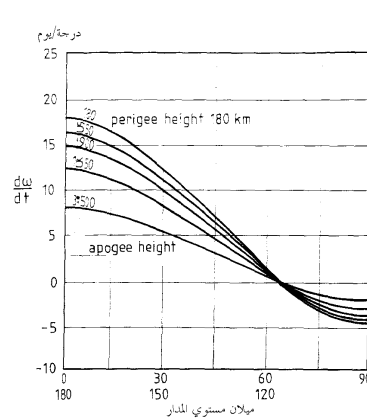
شكل 3.8: سبق العقدة المسبب بالإنتفاخ الإستوائي.

يولّد الإنفاخ الإستوائي مزدوجة تدوير خفيفة على القمر الصناعي تحاول تدوير مدار القمر إلى داخل المستوى الإستوائي. ينبع تأثير مشابه لتأثير عملية السبق precession على محور دوران الأرض (فقرة 2.1.2). يتحرك شعاع العزم الزاوي للمدار حول محور الأرض بعزم أعظمي، أي مستوى المدار والعقد (الصاعدة والهابطة) تتحرك غرباً بالنسبة للمدار المباشر (عند العقدة الصاعدة) وشرقاً بالنسبة للمدارات المعكوسية (عند العقدة الهابطة). يبيّن الشكل 3.9 نسبة تراجع العقدة. يمكن أن يصل التأثير إلى 9 درجات في اليوم من أجل المدارات القريبة من سطح الأرض (200 km) ومن أجل ميل صغير لمستويات المدارات. لاتهائي المدارات القطبية من ظاهرة سبق العقدة (بإهمال حدود المربطة العليا في توزيع الكتلة). تفيد معرفة تأثير سبق العقدة nodal precession مثلاً لتوليد فترات تكرار معينة لرصد الأرض، أو لتوليد مدارات متزامنة (مع الشمس مثلاً).



شكل 3.9: العلاقة بين إرتفاع المدار، زاوية ميلانه وسيق العقدة اليومي.

إن نفطاح الأرض له تأثير آخر يؤثر على أغلب المدارات اللامركزية وهو تدوير خط التكور line of apsides (شكل 3.1) (شكل 3.10)



شكل 3.10: العلاقة بين ميلان المدار، الإرتفاع ودوران نقطة الحضيض perigee.

يعطي الشكل إطابع عن هذا التأثير من أجل مدارات ذات ارتفاع 190 km لنقطة الحضيض *perigee* وإرتفاعات مختلفة لنقط المدارات المقابلة *apogee*. دور خط التكorum باتجاه حركة القمر من أجل المدارات ذات الميلانات $64.4^\circ < i < 116.6^\circ$. من أجل الميل $i > 116.6^\circ$ يكون دوران خط التكorum عكس إتجاه حركة القمر.

3.2.2.1 إعاقات مسببة بالعوامل المكانية Perturbations caused by Zonal Coefficients J_n

من أجل تفصيات إضافية للعلاقة بين الطاقة الثقالية المتغيرة للأرض وتغيرات مدار القمر الصناعي يستعمل منشور سلسلة بعوامل توافق دائيرية من أجل طاقة الأرض الكامنة، معروف في الجيوديزيا الفيزيائية:

$$V = \frac{GM}{r} \left(1 + \sum_{n=1}^{\infty} \sum_{m=0}^n \left(\frac{a_e}{r} \right)^n (C_{nm} \cos m\lambda + S_{nm} \sin m\lambda) P_{nm}(\cos \vartheta) \right) \quad 3.71$$

العامل C_{nm} و S_{nm} هم عبارة عن تكاملات كثافة تصف توزع الكثافة داخل الجسم المركزي. a_e هو نصف القطر الاستوائي، و P_{nm} توابع لاغرانج. يمثل الحد الأول GM/r طاقة كره منجذبة ويعود إلى حركة كيلر ويدعى حد كيلر. الحد المتبقي يعود إلى الطاقة المعيقة. من أجل تقدير تأثير تغيرات حقل الجاذبية الأرضية على مدارات الأقمار الصناعية فيكتفي، غالباً، تعين التسارعات المسببة بعوامل التوافق الأولى. يتم هنا تبسيط المعادلة 3.71. ويعوض عادة في جيوديزيا الأقمار الصناعية

$$C_{n0} = -J_n \quad 3.72$$

وينتاج عندها

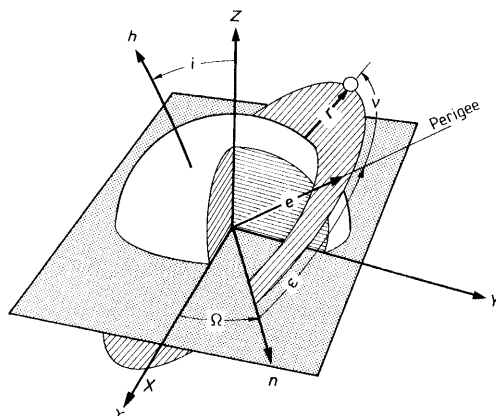
$$\cdot V = \frac{GM}{r} \left(1 - \sum_{n=2}^{\infty} J_n \left(\frac{a_e}{r} \right)^n P_n(\cos \vartheta) \right) \quad 3.73$$

تحديد النشر حتى درجة $n=6$ وتعويض L من أجل زاوية خط العرض الجغرافية نجد:

$$\begin{aligned} V = \frac{GM}{r} & \left(1 - \frac{J_2}{2} \left(\frac{a_e}{r} \right)^2 (3 \sin^2 L - 1) + \frac{J_3}{2} \left(\frac{a_e}{r} \right)^3 (5 \sin^3 L - 3 \sin L) \right. \\ & - \frac{J_4}{8} \left(\frac{a_e}{r} \right)^4 (35 \sin^4 L - 30 \sin^2 L + 3) \\ & + \frac{J_5}{8} \left(\frac{a_e}{r} \right)^5 (63 \sin^5 L - 70 \sin^3 L + 15 \sin L) \\ & \left. - \frac{J_6}{16} \left(\frac{a_e}{r} \right)^6 (231 \sin^6 L - 315 \sin^4 L + 105 \sin^2 L - 5) \right). \end{aligned} \quad 3.74$$

بإسعمال أشعة الواحدة X, Y, Z في النظام الاستوائي (شكل 3.11) نحصل على التسارع \ddot{r}

$$\ddot{r} = \frac{\partial V}{\partial x} \mathbf{X} + \frac{\partial V}{\partial y} \mathbf{Y} + \frac{\partial V}{\partial z} \mathbf{Z} \quad 3.75$$



شكل 3.11: أشعة الواحدة في الجملة الاستوائية.

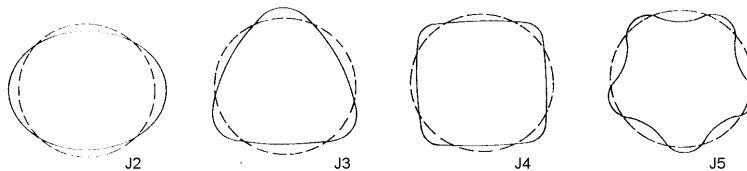
وبالتالي تكون مركبات التسارع x, y, z في موقع القمر الصناعي x, y, z

$$\ddot{x} = \frac{\partial V}{\partial x} = \frac{GMx}{r^3} \left(1 - J_2 \frac{3}{2} \left(\frac{a_e}{r} \right)^2 \left(5 \frac{z^2}{r^2} - 1 \right) + J_3 \frac{5}{2} \left(\frac{a_e}{r} \right)^3 \left(3 \frac{z}{r} - 7 \frac{z^3}{r^3} \right) \right. \\ \left. - J_4 \frac{5}{8} \left(\frac{a_e}{r} \right)^4 \left(3 - 42 \frac{z^2}{r^2} + 63 \frac{z^4}{r^4} \right) \right. \\ \left. - J_5 \frac{3}{8} \left(\frac{a_e}{r} \right)^5 \left(35 \frac{z}{r} - 210 \frac{z^3}{r^3} + 231 \frac{z^5}{r^5} \right) \right. \\ \left. + J_6 \frac{1}{16} \left(\frac{a_e}{r} \right)^6 \left(35 - 945 \frac{z^2}{r^2} + 3465 \frac{z^4}{r^4} - 3003 \frac{z^6}{r^6} \right) + \dots \right) \quad 3.76$$

$$\ddot{y} = \frac{\partial V}{\partial y} = \frac{y}{x} \ddot{x} \quad 3.77$$

$$\ddot{z} = \frac{\partial V}{\partial z} = -\frac{GMz}{r^3} \left(1 + J_2 \frac{3}{2} \left(\frac{a_e}{r} \right)^2 \left(3 - 5 \frac{z^2}{r^2} \right) \right. \\ \left. + J_3 \frac{3}{2} \left(\frac{a_e}{r} \right)^3 \left(10 \frac{z}{r} - \frac{35}{3} \frac{z^3}{r^3} - \frac{r}{z} \right) \right. \\ \left. - J_4 \frac{5}{8} \left(\frac{a_e}{r} \right)^4 \left(15 - 70 \frac{z^2}{r^2} + 63 \frac{z^4}{r^4} \right) \right) \quad 3.78$$

قيم عدبية لعوامل التوافق الدنيا $J_n = -C_{n0}$ مثلا: $J_6 = -0.23 \times 10^{-6}$, $J_5 = -1.62 \times 10^{-6}$, $J_4 = -2.54 \times 10^{-6}$, $J_3 = 1082.63 \times 10^{-6}$, $J_2 = 0.55 \times 10^{-6}$. يمكن شرح عامل توازن مكاني هندسي كإنحراف معين عن شكل الكرة (شكل 3.12).



شكل 3.12: عوامل التوازن المكاني الدنيا.

يعود J_2 مثلا إلى نفطاح الأرض، J_3 للشكل المثلثي، J_4 للشكل التربيعي ... وهكذا.

3.2.3 قوى إعاقة مسببة من الشمس والقمر

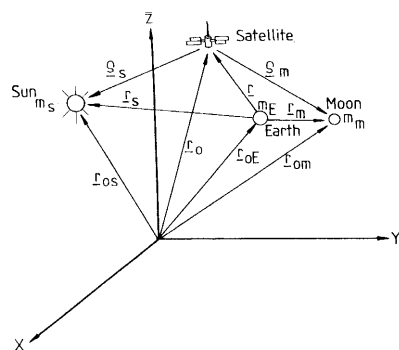
Perturbing Forces caused by the Sun and the Moon

باعتبار الشمس والقمر نقاط كتالية مثل القمر الصناعي فيمكن تطبيق علاقه الحركة الأساسية 3.21:

$$\ddot{\mathbf{r}} = -\frac{GM}{r^3} \mathbf{r}.$$

باعتبار كتلة القمر الصناعي بالنسبة لكتلة الشمس والقمر مهملة و X, Y, Z نظام إحداثيات عطالي مبدأ مرئي مركز كتلة الأرض، ومن الشكل 3.13 وباعتبار $m_E = M$ و $|\rho| = \rho$, $|r| = r$, نجد

$$\ddot{\mathbf{r}} = -\frac{GM}{r^3} \mathbf{r} + Gm_m \left(\frac{\rho_m}{\rho_m^3} - \frac{\mathbf{r}_m}{r_m^3} \right) \quad 3.79$$



شكل 3.13: جذب القمر والشمس للقمر الصناعي.

الحد الأول هو نتيجة تأثير الأرض ويكون إذا تسارع الإعاقة الناتج عن تأثير جذب القمر على القمر الصناعي

$$\ddot{\mathbf{r}}_m = Gm_m \left(\frac{\mathbf{r}_m - \mathbf{r}}{(r_m - r)^3} - \frac{\mathbf{r}_m}{r_m^3} \right) \quad 3.80$$

ويكون تأثير جذب الشمس إذا

$$\ddot{\mathbf{r}}_s = Gm_s \left(\frac{\mathbf{r}_s - \mathbf{r}}{(r_s - r)^3} - \frac{\mathbf{r}_s}{r_s^3} \right) \quad 3.81$$

يجب أن تكون كتل وموقع الأجسام المؤثرة معروفة، فتثلا تعتمد القيمة $1325.10^8 \text{ km}^3 \cdot \text{s}^{-2}$ بالنسبة للحد Gm_s و $10^2 \text{ km}^3 \cdot \text{s}^{-2}$ من أجل القمر. تتخذ موقع الشمس والقمر من جداول التقويمات الملاحية مثلاً أو من شرائط مغناطيسية مجهزة من قبل مخبر *Jet Propulsion Laboratory* الأمريكية.

يجب حساب هذا التأثير في حال حساب مدار القمر الصناعي، فقد تصل قيمة التسارع المؤثر على القمر الصناعي إلى 5.10^{-6} m/s^2 .

3.2.4 المد والجزر في جسم الأرض والمحيطات Solid Earth Tides and Ocean Tides

يغير المد والجزر في جسم الأرض وفي المحيطات الطاقة التالية للأرض ويسبب تسارعات إضافية مؤثر على القمر الصناعي الذي يمكن اعتباره تأثيراً غير مباشر لجذب القمر والشمس.

يكتب تسارع القمر الصناعي المسبب من عملية مد وجزر جسم الأرض كالتالي

$$\ddot{\mathbf{r}}_e = \frac{k_2}{2} \frac{Gm_d}{r_d^3} \frac{a_e^5}{r^4} (3 - 15 \cos^2 \theta) \frac{\mathbf{r}}{r} + 6 \cos \theta \frac{\mathbf{r} d}{r_d} \quad 3.82$$

حيث m_d كتلة الجسم المعيق

r_d شعاع الموضع الجيومكزي للجسم المعيق

θ الزاوية بين r_d وشعاع الموقع للقمر الصناعي r

k_2 عدد لاف Love بصف طواعية جسم الأرض.

إن هذا التأثير يكون صغيراً على أقمار نظام GPS وله القيمة 10^{-9} m/s^2 . من أجل الأقمار الصناعية ذات المدارات المنخفضة مثل STARLETTE يكون التأثير أكبر بكثير. لذلك يستعمل القمر STARLETTE لتعيين وحساب المد والجزر لجسم الأرض الصلب.

يعتبر تأثير المد والجزر للمحيطات على تسارع القمر الصناعي في مداره صعباً جداً بسبب عدم انتظام خطوط الشواطئ. باستعمال معادلة عالمية global يمكن، من أجل أي نقطة P من سطح المحيط، حساب إرتفاعات المد والجزر وتغيرات الكتلة الناتجة عنها

$$dm_p = \rho_0 h(P, t) d\sigma. \quad 3.83$$

حيث ρ_0 كثافة الماء الوسطية، t الزمن و $d\sigma$ عنصر سطح. يكون تغير الطاقة الكامنة المسبب من تغير الكتلة

$$\Delta U = \frac{Gdm_p}{a_e} \sum_n (1 + k'_n) P_{n0} \cos \psi, \quad 3.84$$

الذي يمكن أن يربط بإعاقات المدار بربطه بـ *disturbing potential* من العلاقة 3.71. يمثل العامل k'_n عوامل التشوه، P كثارات حدود لوغاندر Legendre polynomials و ψ الزاوية المركزية بين النقطة المبدئية A والنقطة المعتبرة P .

إن تأثير المد والجزر على الأقمار الصناعية صغير جداً. أكبر تأثير له بغير زاوية ميلان مستوى المدار i وزاوية الصعود المستقيم له Ω . لذلك التأثيرات دورات زمنية تتراوح بين 10 و 100 يوم وتكون غالباً أقل من 0.1. من أجل أقمار GPS فإن التسارع الناتج يكون من مرتبة 10^{-9} m/s^2 وهذا يوافق تغيراً في الموقع المداري بمقدار أقل من 1 خال يومين. من أجل الأقمار ذات المدارات المنخفضة يجب العناية الشديدة بحساب تلك التأثيرات.

3.2.5 إعاقة طبقات الغلاف الجوي Atmospheric Drag

من أجل الأقمار الصناعية ذات المدارات المنخفضة فإن أحد أهم الإعاقات الغير ناتجة عن الجاذبية هو الإحتكاك بالطبقات الهوائية. تتعلق القوى الميكانيكية الهوائية aerodynamical forces المؤثرة على المركبة الفضائية بعوامل

- الشكل الهندسي للقمر الصناعي

- سرعته

- إتجاه القمر الصناعي بالنسبة للتيار الهوائي

- كثافة، حرارة وتركيب الغازات.
لذلك فإن حساب دقيق لتلك التأثيرات تعتبر مسألة معقدة. تم التوصل تجريبياً إلى معادلة أعطت نتائج جيدة. إتجاه التسارع هنا هو عكس إتجاه قوة مقاومة الهواء (الغلاف الجوي)

$$\ddot{\mathbf{r}}_D = -\frac{1}{2} C_D \rho(\mathbf{r}, t) \frac{A}{m_s} (\mathbf{r} - \dot{\mathbf{r}}_a) |\mathbf{r} - \dot{\mathbf{r}}_a| \quad 3.85$$

حيث

$$m_s \text{ كتلة القمر الصناعي} \\ A \text{ المقطع الفعال لسطح القمر} \\ C_D \text{ عامل الإحتكاك (خاص بكل قمر صناعي)} \\ \rho(r,t) \text{ كثافة الغلاف الجوي بالقرب من القمر الصناعي}$$

• r و \dot{r} شعاع الموقع والسرعة للقمر الصناعي• $\dot{\mathbf{r}}_a$ سرعة الغلاف الجوي بالقرب من القمر الصناعي

بفرض أن الغلاف الجوي يتحرك مع جسم الأرض الصلب نحصل، في نظام إحداثيات إستوائي مركزي، على

$$\dot{\mathbf{r}}_a = \begin{pmatrix} \dot{x} + \dot{\theta} y \\ \dot{y} - \dot{\theta} x \\ \dot{z} \end{pmatrix} \quad 3.86$$

حيث $\dot{\theta}$ معدل سرعة دوران الأرض. من أجل قمر صناعي كروي تكون $C_D=1$. من أجل سطوح أكثر تعقيداً، مثل إسطوانة، مخروط أو صفيحة، يأخذ C_D قيمة أكبر. تتعلق كثافة الغلاف الجوي إضافة للارتفاع بعوامل أخرى مثل الموقع الجغرافي، فصول السنة، الوقت اليلوي، نشاط الشمس والحقن المغناطيسي، ويمكن أن تتحسب بمعدلات ملائمة. يمكن الحصول على معلومات عن نشاط الشمس والحقن المغناطيسي للأرض من منشورات علمية، مثل معلومات الشمس الفيزيائية *Solar Physical Data* من الإدارة الوطنية للمحيطات والغلاف الجوي الأمريكية *NOAA*. يتراقص تأثير الغلاف الجوي بإزدياد الارتفاع. من أجل المناطق العليا يمكن للنشاط الشمسي أن يسبب تغيرات بالكثافة من رتبة 10 (عشرة أضعاف). يمكن للقوى المعيقة المؤثرة على القمر الصناعي أن تسبب تغيرات في التسارع من مرتبة 10^{-3} m/s^2 . يتاثر الإنحراف الوسطي \bar{M} على الأكثar من تأثير الغلاف الجوي لأن تأثير قوة إحتكاك الغلاف الجوي موجه بإتجاه الحركة المدارية للقمر الصناعي. بسبب توازن الطاقة تتراقص الطاقة الكلية لحركة القمر الصناعي سوية مع الطاقة الحرارية، وبالتالي ينقص طول نصف المحور الكبير للمدار a . وحسب قانون كييلر الثالث، فإن السرعة الزاوية للقمر الصناعي سوف تزداد بسبب قوة إحتكاك الغلاف الجوي. يكون هذا التأثير كبيراً على أقمار نظام *TRANSIT* مثلاً ذات الارتفاع 1000 km ، بينما مدعوماً على أقمار نظام *GPS*.

3.2.6 ضغط الإشعاع الشمسي المباشر وغير المباشر

يؤثر الإشعاع المنبعث بشكل متواصل من الشمس على القمر الصناعي تأثيرين هما التأثير الناتج من الإشعاع الشمسي المباشر والتأثير الناتج عن إبعاد الشمس من الأرض (ويُدعى تأثير *albedo*). تتناسب القوى المؤثرة على القمر الصناعي طرداً مع مساحة القمر الصناعي الفعالة، ودرجة قابلية العكس لسطح والبقع الشمسية (النشاط الشمسي). وتتناسب عكساً مع سرعة الضوء ومربع البعد بين الشمس والقمر الصناعي. يكون تسارع الإعاقة الناتج إذا

$$\ddot{\mathbf{r}}_{SP} = \nu P_s \frac{C_r O}{m} (AU)^2 \frac{(\mathbf{r} - \mathbf{r}_s)}{|\mathbf{r} - \mathbf{r}_s|^3} \quad 3.87$$

حيث

P_s ثابت شمسي (ناتج من سرعة الضوء والنشاط الشمسي، بالوحدة الفلكية. الوحدة الفلكية تساوي $(1.5 \times 10^8 \text{ km})$)
 O/m نسبة سطح القمر الصناعي إلى كتلة

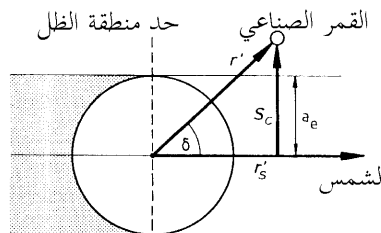
• r, r_s أشعة الموقعة للقمر الصناعي وللشمس في نظام إحداثيات إستوائي مثبت بالفضاء• $C_r = 1.95$ عامل قابلية العكس لسطح القمر الصناعي (من أجل الألمنيوم)• تابع الظل، حيث $\nu = 0$ القمر الصناعي يقع في ظل الأرض• $\nu = 1$ القمر الصناعي يقع في ضوء الشمس• $\nu < 1$ القمر الصناعي يقع في منطقة نصف الظل

في الشكل 3.14 يقع القمر الصناعي في ضوء الشمس إذا تحققت العلاقة

$$D = r' \cdot r'_s > 0 \quad 3.88$$

وهي الظل إذا كانت

$$|S_c| = |\mathbf{r}' - D\mathbf{r}'_s| < a_e.$$



شكل 3.14: معادلة ظل إسطوانة.

a_e هو نصف محور الجسم المسبب للظل (الأرض)، و r'_s شعاع الواحدة بإتجاه الشمس.

هذه المعادلة تقريبية ولا تكفي لمتطلبات الدقة العالية. لتجنب إنقطاع حسابات المدار بالقرب من مناطق الظل يمكن استخدامتابع الظل المهدب *smoothed*. وكذلك يمكن إستعمال الثابت الشمسي كمتحول لحساب نشاط شمسي متغير. كما يمكن إستعمال معادلات معقدة من أجل سطوح الأقمار الصناعية.

إن الحساب الدقيق لتأثير الإشعاع الشمسي على أقمار الـ *GPS* صعب بسبب التركيب المعقد لها. يقسم عادة سطح القمر إلى عدة سطوح كصفائح وإسطوانات.

يؤثر الإشعاع الشمسي المباشر بإتجاه حركة المدار (*along track*), ويمكن أن يصل لأكثر من 10 m بعد عدة ساعات.

ينعكس جزء من الإشعاع الشمسي بواسطة الأرض. تدعى النسبة بين الأشعة المنعكسة والمبشرة بـ *albedo*، وهو صعب الحساب بسبب توزع

ال اليابسة، البحر والغيموم، ولكنه يساوي غالباً حوالي 10% من التأثير المباشر. من أجل أقمار الـ *GPS* يكون هذا التأثير بحدود 1%-2%، لذلك

يهم عادة في حسابات مدارات أقمار نظام الـ *GPS* إلا في حال حسابات أقواس مدارات طويلة جداً.

من أجل حسابات مسارات عالية الدقة هناك تأثيرات إعاقات إضافية تنتج تسارعات إعاقات أقل بكثير من m/s^2 . وتلك التأثيرات هي مثلاً

- إحتكاك مع جزيئات مشحونة كهربائياً في طبقات الغلاف الجوي العالمي

- إشعاع حراري للقمر الصناعي

- تأثير إرتفاع درجة الحرارة على حدود مناطق الظل

- تأثير إلكترومغناطيسي في حقل المغناطيسي للأرض

- تأثيرات الغبار الكوني *inter planetary dust*

لأغراض عملية لا تؤخذ تلك التأثيرات بعين الاعتبار في جيوديزيا الأقمار الصناعية.

تم في هذا الفصل تقديم عرضاً لحركة الأقمار الصناعية في مداراتها وموجاً عن العوامل المعيقة لحركة ذلك، وذلك فكرة عامة للإمام بعض الأساسيات اللازمة قبل الدخول في تفاصيل نظام التوضع العالمي *GPS*.